

نکره بوده و در اینجا تنها به معرفی مهترین آنها در سه گروه کلی چین خوردگیها، گهدانهای  
در این فصل از آنها اندک است اما به ترتیب اینها می‌باشد: ۱) پنجه دار، ۲) پنهانه دار،  
۳) چین خور آنها هستند و ممکن است اینها با چین خوری همراه باشند و شاهد اینها نیز باشند.  
۱) چین خور دار: اینها ریخته هستند و لبه های آنها قرقره ای ندارند و ناشتا ریخته های  
آنها بقایه طیعتی خود را نمی‌توانند و اینها این قدر بگیرند که اینها را تبدیل کنند و اینها برخاسته  
طمع محوری آنها از رویدادهایی که اتفاق افتاده باشند بگیرند.

## ژئومورفولوژی ساختمانی بخش شمال خاوری استان کردستان

دکتر محسن پور کرمانی

استاد زمین‌شناسی، دانشگاه شهید بهشتی

مهران آرین

دانشجوی دکتری تکنونیک، دانشگاه شهید بهشتی

چکیده

منطقه مورد نظر، بخشی از ایران مرکزی به وسعتی در حدود ۲۵۰۰ کیلومتر مربع می‌باشد و ت

نهشته‌های دوران سنوز و نیک مستور گردیده است. عملکرد چرخه دگرشکلی آلپی پایانی، باعث بروز سیم

ساختاری متنوعی در نهشته‌های مذکور گردیده که به سه گروه کلی چین خوردگیها، گسلها، فرازم

فروزمنهای فشاری تفکیک و مورد بررسی قرار گرفته‌اند.

شاخصهای ژئومورفیک با استفاده از نقشه‌های توپوگرافی و عکس‌های هوایی منطقه محاسبه گردیدند

این اساس، منطقه مورد مطالعه را می‌توان یک پهنه نسبتاً فعال دچار بالامدگی، به حساب آورد.

در ضمن، دگرشکلیهای نوزمین ساخنی نیز به جنبشها ملایم خشکی‌زاگی پس از میوسن نسبت

شده‌اند و عدم همواهی این پدیده‌ها با رخدادهای لرزه‌ای تاریخی و دستگاهی قابل توجه، می‌تواند م

دگرشکلی شکل‌پذیر یا فعالیت غیرلرزه‌ای در منطقه باشد.

واژه‌های کلیدی: چین خوردگی، تالدیس، ناویدیس، سینوسیتی، گسل، بالازگی، فرازمین، فروزمنی

**مقدمه**

به اعتقاد کلر و پینتر<sup>(۱)</sup>\* بد کارگیری اصول ژئومورفیک می‌توانند برای حل مسائل تکتونیکی سودمند باشد. به بیان دیگر، دانش ژئومورفولوژی ساختمانی می‌تواند به عنوان ابزار مناسبی برای محاسبه تاریخچه، اندازه و نرخ فرآیندهای تکتونیکی مورد استفاده قرار گیرد. از این رو، در این نوشتار سعی گردیده است تا با به کارگیری اصول ژئومورفیک، وضعیت کنونی و تحولات بخش شمال خاوری استان کردستان مورد ارزیابی واقع گردد.

**موقعیت منطقه**

این منطقه با وسعتی در حدود ۲۵۰۰ کیلومتر مربع، در حد فاصل شهرهای زنجان و بیجار و در محدودهٔ مختصات جغرافیایی  $۳۰^{\circ}$  و  $۴۷^{\circ}$  طول خاوری و  $۳۰^{\circ}$  و  $۳۶^{\circ}$  عرض شمالی واقع شده است. منطقه مورد نظر، بخشهایی از استانهای زنجان و کردستان را دربرگرفته است و اغلب ساکنین آن به کشاورزی اشتغال دارند. اخیراً فعالیتهای صنعتی و معدنی نیز در این منطقه رواج یافته است.

مهمترین ویژگی این منطقه، وجود حصاری کوهستانی است که دشت‌های مرتفع هموار و یا به ماهوری را احاطه کرده‌اند. بخشی از رودخانه قزل اوزن به همراه شاخه‌های فرعی آن، نظیر رودخانه‌ای خونین و گورانی، در این پهنه جریان دارد. آب و هوای این منطقه، معتدل مایل به سرد بازمستانهای بسیار سرد و ناباستانهای معتدل تا اندکی گرم می‌باشد. پوشش‌های گیاهی نیز در نواحی مرتفع کوهستانی، شامل مرتع و چمنزار و در سایر نواحی، استپ کوهپایه‌ای است.

**سیماهای ساختاری**

به طور کلی، سیماهای ساختاری متنوعی در منطقه تشخیص داده شده‌اند که تشریح آنها مدد

نظر نبوده و در اینجا تنها به معرفی مهمترین آنها در سه گروه کلی چین خوردگیها، گسلهای فرازمنها و فروزمینهای فشاری پرداخته می‌شود:

### ۱- چین خوردگیها

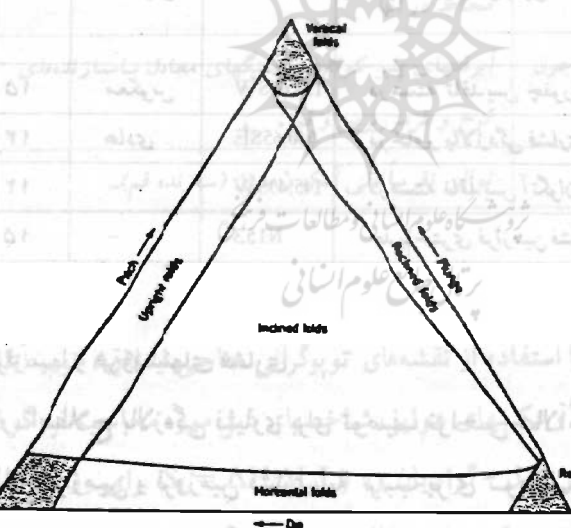
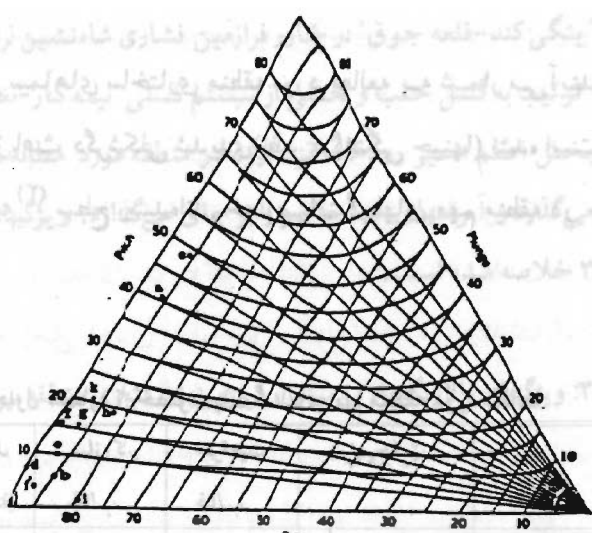
چینها با رزتیریز سیمای ساختاری منطقه مورد مطالعه را تشکیل داده‌اند و راستای غال سطح محوری آنها، از روند عمومی دگر شکلی آلبی پایانی منطقه تبعیت نموده است. اکثر این چینها استوانه‌ای تا نیمه استوانه‌ای هستند؛ ولی از آنجاکه نتوانسته‌اند این ویژگی را در مسافت‌های طولانی حفظ نمایند، با کاهش زاویه میل محورشان، دارای انتهای محروم‌طی شده‌اند. به منظور بررسی چینهای منطقه، از اندازه‌گیریهای انجام شده در مقاطع عمود بر راستای آن استفاده گردید که نتیجه تحلیلهای استریوگرافی در جدول شماره ۱ خلاصه شده است.

جدول شماره ۱: خصوصیات چینهای منطقه مورد مطالعه.

Fleuty (1946) رده‌بندی	نوع چین بر اساس: تقارن سطح چین خورده	نحوه دوران محور	مقاطع موره: مطالعه	نام چین
بست (close)	مونوکلینیک	محروم‌طی با مقطع بیضی	a	ناودیس ایده‌لو
	تریکلینیک	محروم‌طی با مقطع بیضی	c	تاقدیس تبریزک
باز (open)	تریکلینیک	محروم‌طی با مقطع بیضی	e	ناودیس صانین
	مونوکلینیک	استوانه‌ای	f	ناودیس حلب
بست	مونوکلینیک	استوانه‌ای	g	تاقدیس بهمن
	مونوکلینیک	استوانه‌ای	h	تاقدیس آنگوان داغ
باز	مونوکلینیک	استوانه‌ای	i	ناودیس نره گونی
باز	مونوکلینیک	استوانه‌ای	j	ناودیس چورقلشاق
بست	تریکلینیک	محروم‌طی با مقطع بیضی	k	تاقدیس ایزوماتیک

برای تعیین موقعیت سه بعدی چینها،<sup>(۲)</sup> شبیط محوری و میل محور آنها در مقاطع تاک ملاک عمل قرار گرفت. بدین ترتیب، ملاحظه گردید که از ۱۲ نقطه معرف تاقدیسها و ناودیسها در نمودار مثلثی شکل، که نشانگر موقعیت سه بعدی چینها است (شکل ۱)، ۶ نقطه در محدوده چینهای ایستاد، میل دار\* و ۵ نقطه در محدوده چینهای ایستاد، افقی\*\* ریک مورد (۵) در مرز دو محدوده مذکور قرار می‌گیرد. بنابراین می‌توان یک تاریخچه جوان را برای چین خوردنگی در نظر گرفت که فردگی و افراشتگی آن، هم اکنون نیز دنبال موشود.

در اینجا با عنوان نمونه‌ای از این افراشتگی‌ها، بالآمدگی نوزمین ساختی\*\*\* تاقدیس آتگوان داغ مود اشاره قرار گرفته است. از آنجاکه ناگهان در خاور روستای نیمه کار، سینوسیته رودخانه قزل اوزن از ۲۸/۰۵ به ۱/۰۵ کاهش می‌یابد، می‌توان این تغییر الگری زهکشی از مهاندری به مستقیم را، به بالآمدگی تاقدیس آتگوان داغ نسبت داد؛ زیرا رودخانه قزل اوزن پیش از رود به پهنه‌ای که در آن دچار کاهش سینوسیته می‌شود، از سطح در حال فرسایش تاقدیس یاد شده می‌گذرد.



شکل ۱: نمودار مثلثی شکل نشانگر موقب سه بعدی چیزها. در قسمت الف، موقعیت هر کدام از یک نقطه نشان داده شده است. در قسمت ب، نوع چیزهای واقع در محلوده های مختلف نمودار مشخص گردیده است.

## ۲- گسلها

گسلها مهمترین سیماهای ساختاری منطقه مورد مطالعه به شمار می‌آیند و از آنجاکه تحولات آلپی، هنوز باعث دگرگشکلی شدیدی (نظیر برگشتگی چینها) نشده است، تنها برخی از گسلهای پی‌سنگی به<sup>(۲)</sup> سطح رسیده‌اند. خصوصیات گسلهای مهم منطقه در جدول شماره ۲ خلاصه شده است.

جدول شماره ۲: خصوصیات گسلهای مهم منطقه مورد مطالعه.

نام گسل	طول (km)	سازوکار	موقعیت غالب	توضیحات غالب
گسل حلب	۷۲	معکوس	معکوس	نتیجه به سطح رسیدن راندگی پی‌سنگی ۴۱٪ است
سیستم گسلی	۳۴	معکوس	NW-SE	حد خاوری فراز مین فشاری شاهنشین است
نیمه کار مغانلو	۱۵	معکوس	معکوس	در هسته تاقدیس چقور فشلاق واقع شده است
گسل چقرا	۱۴	عادی	معکوس	در خاور بالازدگی فشاری شریف آباد واقع شده است
گسل آنگوان داغ	۱۲	-	معکوس	در هسته تاقدیس آنگوان داغ واقع شده است
گسل قزل نپه	۱۵	-	N153°	حد باختری فراز مین فشاری شاهنشین است.

## ۳- بالازدگیها، فراز مینها و فروز مینهای فشاری

در این نوشتار، اصطلاح بالازدگی فشاری برای توصیف نواحی بالا‌آمده واجد مرزهای نامشخص و اصطلاح فراز مین و فروز مین فشاری، به ترتیب برای توصیف بلوکهای بالا‌آمده محدود بین گسلهای فشاری با شب همگرا و بلوکهای پایین‌مانده واقع بین گسلهای فشاری با شب و اگرا، به کار گرفته شده است. چکاد کوه شاهنشین، با ارتفاعی در حدود ۲۴۱۳ متر، که مرتفع‌ترین بخش منطقه مورد مطالعه می‌باشد، بر روی فراز مین فشاری شاهنشین واقع شده است.

فروز مین فشاری ینگی کند-قلعه جوق در خاور فراز مین فشاری شاهنشین قرار دارد و از سمت خاور و باختر، به ترتیب به گسل حلب و بخشی از سیستم گسلی "نیمه کار-مقانلو" محدود شده است. در ضمن، بخش اعظم مسیر رودخانه قزل اوزن در منطقه مورد مطالعه، از داخل همین فروز مین فشاری می‌گذرد و آبرفت‌های عهد حاضر را بر جای می‌گذارد. ویژگی‌های این نوع نواحی در جدول شماره ۳ خلاصه شده است.

جدول شماره ۲: ویژگی‌های بالازدگیها، فراز مینها و فروز مینهای فشاری منطقه مورد مطالعه.

نام	جنس پروندها	جهت گیری تقریبی
فراز مین فشاری شاهنشین	اسلیتها و فیلیتها مناسب به کرتاسه و سنگهای آذرین محاط در آنها	NW-SE
فروز مین فشاری ینگی کند-قلعه جوق	آبرفت‌های پلیو-کواترنر و سنگهای معادل با سازنده‌های کرح و قرمز زیرین و قم	NW-SE
بالازدگی فشار شریف آباد	توالی تقریباً افقی آهک و مارن (سازنده قم)	NW-SE

### بررسی شاخصهای ژئومورفیک

- برای این منظور، با استفاده از نقشه‌های توپوگرافی حاجی قشلاق، توب آگاج، قم چقا و حسن آباد یاسوکند<sup>(۴)</sup> و عکسهای هوایی، شاخصهای ذیل مورد محاسبه قرار گرفتند:
- میانگین شاخص طول - گرادیان رود ( $S_L = \Delta H / \Delta L \cdot L$ ) برای رودهای مناطق پیشانی، در دامنه‌های جنوب باختری کوههای سلطانیه، در حاشیه باختری استان زنجان، در حدود ۳۶ گرادیان متر تعیین گردید که به دلیل رسوبی و نرم بودن سنگهای آن (مارن و مارن ماسه‌ای) مقدار قابل توجهی است.
  - مقادیر عامل توپوگرافی عرضی ( $T = Da/Dd$ )، که یک شاخص کمی مناسب برای

از یک عدم تقارن حوضه زمکشی به حساب می‌آید، برای رودخانه قزل اوزن در مقابل پیشانی ساختاری گسل حلب، بسیار نزدیک به عدد یک برآورد گردیدند. این مطلب گویای مهاجرت کافال رودخانه نزل اوزن به سمت باخته می‌باشد.

۷۴- عامل عدم تقارن ( $A_F = 100 \cdot A_r / A_i$ ) رودخانه قزل اوزن در منطقه یاد شده در بالا، محاسبه گردید. این مقدار قابل توجه که به سادگی با مشاهد، انشعابات طویلتر ساحل خاوری رودخانه نسبت به ساحل باختری آن نیز قابل استنتاج است، می‌تواند نشانگر عملکرد قائم زمین ساخت فعال در پیشانی ساختمانی گسل، حلب باشد.

-۴- سینو میته پیشانیهای ساختاری ( $S_{mf} = L_{mf}/L_s$ ) منطقه مورد مطالعه نیز از روی عکس های هوایی با مقیاس ۱:۵۰۰۰۰ محاسبه گردید. بدین ترتیب، برای پیشانی ساختاری گسلهای حلب، چقور قشلاق و قم چقا، مقادیر کوچکتر از ۱/۱۸ به دست آمد که گویای زمین ساخت فعال و بالا آمدگی آنهاست.

۶- درصد مسطح شدگی پیشانیهای ساختاری ( $\text{Facet\%} = \frac{L_f}{L_s} \times 100$ ) نیز، به همین صورت از روی عکسهاهای هوایی محاسبه شد. بدین ترتیب، برای پیشانیهای یاد شده در بالا، مقادیر بزرگتر از ۹۱٪ درصد به دست آمد که این نیز نشانگر عملکرد قائم زیین ساخت فعال می‌پاشد.

۴- نسبت پهنای کف دره به ارتفاع ن ( $V$ ) در پیشانی ساختاری گسل حلب، بین ۸/۰ تا ۱/۹ تعیین گردید، که گویای نرخهای نستاس به بالا مددگار است.

- مقدار انتگرال ارتفاع سنجی \* سطقه نیز از روی نقشه‌های توپوگرافی، ۴۶۸ / ۰ محاسبه گردید.<sup>(۵)</sup> از آنجاکه به اعتقاد کلر و پیتر<sup>(۶)</sup> می‌توان از رابطه بین مقدار انتگرال ارتفاع سنجی و درجا تجزیه یک منطقه، به عنوان معربنی از مراحل یک چشم‌انداز تکتونیکی \*\* در چرخه فرسابش استفاده نمود، به نظر می‌رسد که این منطقه در مراحل حد واسط جوانی-بلغه به سر

می‌برد. از سوی دیگر، حضور تاهمواریهای تیز و همچنین تنوع بسیار عوارضی "چون پادگانه‌ها، مخروط‌افکنه‌ها، وجود دشت‌های سیلابی و مهاندر شدگی در کنار یکدیگر، مؤید همین نظر است. بدین ترتیب، با توجه به مقادیر محاسبه شده این شاخصها، می‌توان منطقه مورد مطالعه را در رده درم از طبقه‌بندی فعالیتهای زمین ساختی نسبی\*\* که توسط کلر و پیتر<sup>(۷)</sup> پیشنهاد شده است، قرارداد و آن را یک پهنه نسبتاً فعال به حساب آورد.

### بورسی دگر‌شکلیهای نو زمین ساختی

به اعتقاد استیوارت و هن کوک<sup>(۸)</sup>، نو زمین ساخت، شاخه‌ای از دانش زمین ساخت است که به بررسی حرکات جدید زمین می‌پردازد؛ حرکاتی که از گذشته آغاز شده و تاکنون نیز ادامه یافته است. بنابراین برای مطالعه این حرکات، باید به معرفی و سپس بررسی چینه‌های متعلق به کواترنری در منطقه پردازم. سیستم کواترنری در منطقه مورد مطالعه، از گراولها، سنگریزه‌ها و طبقات ماسه‌ای و رسی مست افقی تا نیمه‌افقی تشکیل یافته است که به صورت پادگانه‌ها و آبرفت، طبقات قدیمی‌تر را می‌پوشاند. افزون بر این، گدازه‌های بازالتی جوانی نیز در خاور حسن آباد یاسوکند، در حاشیه یک کراتر منفرد تقریباً بیضی‌شکل، با محیطی در حدود ۵ کیلومتر قابل مشاهد، است که به اعتقاد علوی نائینی و همکاران<sup>(۹)</sup> به کواترنری مربوط است.

نهشته‌های پلیو-پلیستوسن منطقه نیز عموماً از طبقات رسی انقی تا نیمه‌افقی تشکیل یافته است که در برخی نقاط، تا ۳۰۰ متر ضخامت دارد. شبک کم این طبقات که با دگرشیبی زاویده‌دار بر روی سازند قرمز بالایی و سازندهای قدیمی‌تر قرار گرفته‌اند، در برخی نقاط، نظیر باخته روستای ینگی کند جامع السرا، به حرکات ملایم چینها یا نهشته شدن آنها به صورت شبک دار نسبت داده شده است. همچنین در برخی نقاط نزدیک به گسلها، که این طبقات پرشیب هستند (نظیر شمال روستای صائین و کهریز)، حرکات جوان محلی ناشی از بادکردگی طبقات

ژیپسی سازند قرمز بالایی، به عنوان عامل کج شدگی طبقات در نظر گرفته شده‌اند. این در حالی است که به نظر می‌رسد، تمام علل مطرح شده در بالا، خود معلول حرکات ملایم خشکی زایی پس از میوسن و بالاًمدگی منطقه می‌باشد. نمونه‌ای از این بالاًمدگی‌های نو زمین ساختی که به وسیله تغییر ناگهانی الگوی رودخانه قزل اوزن از مداندری به مستقیم شناسایی شده است، در بخش سیماهای ساختاری (مبحث چین خورده‌گیه) معرفی گردید.

در مورد اثرات چرخه دگرشکلی آلپی پایانی در پاسوژن‌وگرافی منطقه نیز به طور مختصر، می‌توان چنین اذعان داشت که شرایط دریایی میوسن زیرین (مولد سازند قم) تا میوسن میانی ادامه یافت و از این زمان به بعد، تدریجیاً جای خود را به شرایط ناره‌ای واگذار نمود. این تغییر شرایط، که در مقیاس هیمالایی به فاز استبرین<sup>\*</sup> نسبت داده می‌شود، در ناحیه مورد نظر بیشتر دارای عملکرد خشکی زایی مثبت، به صورت ناپیوستگی هم‌شبب<sup>\*\*</sup> بوده است. بدین ترتیب، سنگهای دریایی معادل با سازند قم، ابتدا بتدریج در جهت قائم به نهشته‌های کولاپی (بخش قاعده‌ای سازند قرمز بالایی یا  $M_1$ ) و پس به نهشته‌های تخریبی (بخش بالایی سازند قرمز بالایی یا  $M_2$ ) تحویل یافته‌اند. بدنبال خروج ناحیه از آب، در میوسن میانی و نهشته شده سازند قرمز بالایی، زمینه برای چین خورده‌گی ناحیه‌ای فراهم گردید و طی میوسن پایانی و تقریباً مقارن با مرحله دوم بازشگی دریایی سرخ، دگرشکلی مهمی به وقوع پوست. نتیجه این دگرشکلی، ایجاد یک نسل از ساختارهای حاصل از چین خورده‌گی مقدماتی و گسترش گلشن سطحی، در ناحیه مورد مطالعه بوده است.

دگرشکلی مذکور، که با بر جای گذاشته شدن نهشته‌های نخریبی-قاره‌ای پلیرسن در حوضه‌های بین کوستانتی و حوضه‌های باقیمانده کولاپی همراهی گردید، در مقیاس هیمالایی، به فاز آتیکن<sup>\*\*\*</sup> از چرخه دگرشکلی آلپی پایانی نسبت داده می‌شد. این فاز، در ناحیه مورد نظر،

\*-Styrian

\*\*-Disconformity

\*\*\*-Altican

دارای عملکرد کوهزایی بوده و وضعیت اولیه ارتفاعات کنونی را طراحی نمود. به این ترتیب می‌توان جنبش‌های میوسن پایانی را به عنوان فاز نهایی از واقعه دگرشکلی "مهمن" به حساب آورد که با یک دوره اصلی تکتونیسم یا کوهسازی\*\*\* همراه بوده است. از آن پس تا کنون نیز، صدر حركات ملایم خشکی‌زایی پس از میوسن، مرحله فرسایش نسل ساختاری حاصل از آن، در انجام است.

همچنین بررسیهای انجام پذیرفته نشان می‌دهند که در پهنه مورد مطالعه، هیچ‌گونه سالرزه‌خیزی تاریخی و دستگاهی قابل توجهی وجود ندارد. بنابراین، از آنجاکه زمین لرزه‌ها شواهد دگرشکلی شکننده به حساب می‌آیند، عدم نراوانی آهادار مناطق تحت تنش، گویی وقوع دگرشکلی شکل پذیر یا فعالیت غیرلرزه‌ای\*\*\*\* است.

### نتیجه

با توجه به مجموعه مطالعات صورت پذیرفته بر روی سیماهای ساختاری، می‌توان نتیجه گرفت که این منطقه در حال فشردگی و افزاشتگی است. مقادیر کمی شاخصهای ژئومورفیک آن را در رده دوم فعالیتهای زمین ساختی نسبی قرار داده و نشانگریک پهنه نسبتاً فعال هستند. سوی دیگر، با توجه به دگرشکلیهای نو زمین ساختی حاصل از چرخه دگرشکلی آپی پایانی فقدان هرگونه داده‌لرزه‌ای دستگاهی و یا تاریخی قابل توجه، می‌توان چنین اذعان داشت که دگرشکلی پهنه مورد مطالعه، تاکنون بیشتر به صورت شکل پذیر بوده است؛ لیکن با مشاهده اش کاهش تحمل دگرشکلی به این نحو، نظیر توسعه گسلها در هسته چینها (تاقدیس آنگوان داغ و تاقدیس چفور قشلاق)، پیش‌بینی تحوی و وضعیت شکل پذیر به شکننده و گسترگش سطحی (وقوع زمین‌لرزه) دور از ذهن نمی‌باشد.

### منابع و یادداشتها

- 1- Keller, E.A., Pinter, N., 1996, Active tectonics: earthquakes, uplift and landscape, prentice-Hall Inc. New Jersey, PP. 122-142, 154, 267.
- 2- Twiss, R. J., Moores, E. M., 1992, Structural Geology, W.H. Freeman and Company, New York, 102, 224, 225.
- 3- Yusefi, E., Friedberg J.L., 1978, Aeromagnetic Map of Iran, Quadrangle No. C4, D4, Geol. Sur. of Iran.
- ۴- نقشه های توپوگرافی حاجی قنلاق، توب آغاج، قم چفا و حسن آباد با سوکند به شماره های (۱) با مقیاس ۱:۵۰۰۰۰ از سری نقشه های توپوگرافی سازمان جغرافیایی نیروهای مسلح، با تجدیدنظر در سال ۱۳۷۴.
- ۵- دورنکامپ، جی. و کینگ، سی. و پو، وی. و گاردنر، وی. و داکومب، آر. وسترال، ا.، تحلیلهای کمی در زئومورفولوژی، ترجمه و تدوین فریته، ج. انتشارات دانشگاه تهران، ۱۳۷۱، صص ۲۸ و ۴۰-۴۷.
- ۶- کلر و پیتر، همان منبع، ص ۱۵۴.
- ۷- کلر و پیتر، همان منبع، ص ۲۶۷.
- 8- Stewart, I.S., Hancock, P.L., 1994, Neotectonics. In: Continental Deformation, (ed. by P.L. Hancock, Pergamon Press Ltd, Oxford,) P.P. 371, 394, 395.
- 9- Alavi-Naini, M., Hajian, J., Amidi, M., Bolourchi, H., 1982, Geology of Takab - Sacin Qaleh, 1:250000, Geol. Sur. of Iran, Report No 50, pp. 71-73, 81, 91.
- ۱۰- همان منبع، صص ۸۱-۹۱.